

ຈົນຄາສຕ່ງກາຮສລາຍຕັ້ງໂດຍອອກສີເຊັ້ນຂອງສາຮສລາຍຮານິຕິດິນໄຢໂຄຣຄລອໄຣ໌

ນາງສາວປົງມາ ເພື່ອງຈັນທີ



ສຕາບັນວຶທຍບົດກາ

ວິທະານີພັນໜີເປັນສ່ວນໜີຂອງກາຮສຕ່ງກາຮສລາຍຕັ້ງໄຢໂຄຣຄລອໄຣ໌

ສາຂາວິຊາເກສັ້ນກຽມ ຝາກວິຊາເກສັ້ນກຽມ

ນັ້ນທີຕົວທີ່ ຈຸ່າລັງກຽມມີນາກວິທາລັ້ຍ

ປີກາຮສຕ່ງກາຮ 2540

ISBN 974-638-119-9

ລົຊື່ທີ່ຂອງນັ້ນທີຕົວທີ່ ຈຸ່າລັງກຽມມີນາກວິທາລັ້ຍ

**OXIDATIVE DEGRADATION KINETICS
OF
RANITIDINE HYDROCHLORIDE SOLUTIONS**

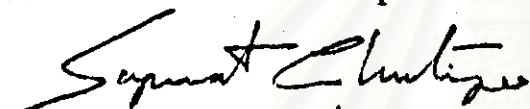
MISS PATIMA PHUANGCHAN

สถาบันวิทยบริการ
จุฬาลงกรณ์มหาวิทยาลัย

A Thesis Submitted in Partial Fulfillment of the Requirements
for the Degree of Master of Science in Pharmacy
Department of Pharmacy
Graduate School
Chulalongkorn University
Academic Year 1997
ISBN 974-638-119-9

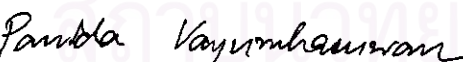
Thesis Title Oxidative Degradation Kinetics of Ranitidine
 Hydrochloride Solutions
By Miss Patima Phuangchan
Department Pharmacy
Thesis Advisor Assistant Professor Panida Vayumhasuwan, Ph.D.
Thesis Co-Advisor Assistant Professor Chamnan Patarapanich, Ph.D.

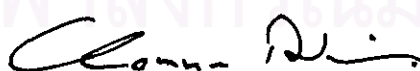
Accepted by the Graduate School, Chulalongkron University in
Partial Fulfillment of the Requirement for the Master's Degree.


..... Dean of Graduate School
(Professor Supawat Chutivongse, M.D.)

Thesis Committee


..... Chairman
(Associate Professor Porntip Nimmannitya)


..... Thesis Advisor
(Assistant Professor Panida Vayumhasuwan, Ph.D.)


..... Thesis Co-Advisor
(Assistant Professor Chamnan Patarapanich, Ph.D.)


..... Member
(Narueporn Nachiengtung, Ph.D.)

๙๒. วิจัยทางนาโนเทคโนโลยีพิพนธ์ถ่ายในกรอบวิจัยที่มีความน่าสนใจและมีผลต่อ

ปฐมนา เฟื่องจันทร์ : งานศาสตร์การแพทย์ด้วยโภชนาคชีเครียนของสารละยาบนน้ำยาดินสีไอโอดีน ไอโครคลอไรด์ในสารละยาบีฟเฟอร์ที่มีพีเอช ๘ ซึ่งประกอบด้วยสารด้านออกซิเครียนของสารละยาบนน้ำยาดินสีไอโอดีน ๓ กกุ่ม ได้แก่ กกุ่มที่สามารถจับกับอนุญาติธรรม คือ บิวทิกเตาไฮคลอโรไซด์ (บีเอชที) ในปริมาณ ๐.๐๐๑ และ ๐.๐๐๕ % อัตรา ไหโคฟีรอก ในปริมาณ ๐.๐๐๑ และ ๐.๐๒ % กกุ่มที่สามารถจับกับออกซิเจน คือ โซเดียมไบซัลไฟต์ในปริมาณ ๐.๐๑ และ ๐.๑ % กรดแอสคอร์บิกในปริมาณ ๐.๐๑ และ ๐.๑ % และกกุ่มที่สามารถจับกับไอละหนัก คือ กรดอะทิติสีน ไคลอเม็นเดคระอะซิติก (อีดีทีเอ) ในปริมาณ ๐.๐๑ และ ๐.๐๗๕ % กรดซิตริกในปริมาณ ๐.๓ และ ๒.๐ % สารละยาดังกล่าวถูกเก็บไว้ในภาวะที่มีแต่ไม่มีออกซิเจนและ/or แสง พบว่าตอนศาสตร์การแพทย์ด้วยของสารละยาดินสีไอโอดีน ไอโครคลอไรด์เป็นปฏิกิริยาอันดับสอง ออกซิเจนเร่งอัตราการถ่ายด้วยของสารละยาดินสีไอโอดีน ไอโครคลอไรด์มากกว่าแสง แต่รูปแบบการเปลี่ยนแปลงของค่าคงที่การถ่ายด้วยไม่สามารถสรุปได้ การเปลี่ยนแปลงค่าคงที่การถ่ายด้วยไม่ได้ขึ้นอยู่กับชนิดของกุ่ม หรือความเข้มข้นของสารด้านออกซิเครียนที่ศึกษา สารด้านออกซิเครียนบางชนิดบางความเข้มข้นเพิ่มค่าคงที่การถ่ายด้วย ขณะที่สารด้านออกซิเครียนบางชนิดเมื่อยื่นในกุ่มเดียวกันหรือแม้เป็นชนิดเดียวกันแต่ต่างความเข้มข้นกับค่าคงที่การถ่ายด้วยอย่างไรก็ตามการเปลี่ยนแปลงของค่าคงที่การถ่ายด้วยเหล่านี้ไม่มีนัยสำคัญทางสถิติ ยกเว้นในกรณีของโซเดียมไบซัลไฟต์ในភภาวะที่มีแสงแต่ปราศจากออกซิเจน แต่กรดแอสคอร์บิกในภาวะที่มีออกซิเจนและแสง โซเดียมไบซัลไฟต์ที่ความเข้มข้น ๐.๐๑ และ ๐.๑ % ลดและเพิ่มค่าคงที่การถ่ายด้วยตามลำดับ กรดแอสคอร์บิกที่ความเข้มข้น ๐.๐๑ % เพิ่มค่าคงที่การถ่ายด้วยแต่ที่ความเข้มข้น ๐.๑ % สารนี้ลดค่าคงที่การถ่ายด้วย

สถาบันวิทยบริการ จุฬาลงกรณ์มหาวิทยาลัย

ภาควิชา มหาวิทยาลัย
สาขาวิชา มหาวิทยาลัย
ปีการศึกษา ๒๕๔๐

ลายมือชื่อผู้ติด ลูกาน พูลอมร
ลายมือชื่ออาจารย์ที่ปรึกษา ดร. วรา
ลายมือชื่ออาจารย์ที่ปรึกษาร่วม ดร. วนิช

C875087 : MAJOR PHARMACY

KEY WORD: RANITIDINE HCl / OXIDATION / OXYGEN / LIGHT / ANTIOXIDANT / STABILITY

PATIMA PHUANGCHAN : OXIDATIVE KINETICS OF RANITIDINE

HYDROCHLORIDE SOLUTIONS. THESIS ADVISOR : ASST. PROF. PANIDA

VAYUMHASUWAN, Ph.D. THESIS CO-ADVISOR : ASST. PROF. CHAMNAN

PATARAPANICH, Ph.D. 197 pp. ISBN 974-638-119-9

The oxidative degradation kinetics of ranitidine hydrochloride in pH 8 phosphate buffer solutions containing various kinds of antioxidants were studied. Three groups of antioxidants were studied including free radical inhibitors: 0.001 and 0.005 % butylated hydroxytoluene (BHT), and 0.001 and 0.02 % alpha tocopherol; oxygen scavengers: 0.01 and 0.1 % sodium bisulfite, and 0.01 and 0.1 % ascorbic acid; and chelating agents: 0.01 and 0.075 % ethylenediamine tetraacetic acid (EDTA), and 0.3 and 2.0 % citric acid. The solutions were stored in the presence and absence of oxygen and / or light. The degradation kinetics were found to be second order. Oxygen accelerated the degradation rates more than light did. Unexpectedly, the pattern of changes in degradation rate constant values was not conclusive. The changes in degradation rate constants did not depend on the specific group or concentration of antioxidants studied. At certain concentrations, some antioxidants increased the rate constants; whereas some of them, although they were in the same group or the same antioxidant but at different concentrations, decreased the rate constants. However, the changes were statistically insignificant except for the cases of sodium bisulfite in the presence of light but absence of oxygen and ascorbic acid in the presence of oxygen and light. Sodium bisulfite at 0.01 % and 0.1 % decreased and increased the rate constants, respectively. Ascorbic acid at 0.01 % increased the rate constant, but at 0.1 % it decreased the rate constant.

จุฬาลงกรณ์มหาวิทยาลัย

ภาควิชา.....เภสัชกรรม.....

ลายมือชื่อนิสิต.....ธีรดา พัฒนาภรณ์

สาขาวิชา.....เภสัชกรรม.....

ลายมือชื่ออาจารย์ที่ปรึกษา.....ดร. ดร. วิภาดา วิภาดา

ปีการศึกษา....2540.....

ลายมือชื่ออาจารย์ที่ปรึกษาร่วม.....ดร. พัชราภา วงศ์สุข



ACKNOWLEDGEMENTS

Thesis would have never been succeeded without the assistance of several people. I will always be grateful for their suggestions, help and supports.

Dr. Panida Vayumhasuwan, my advisor has given her time and effort to assist me throughout this study. Her invaluable advice, continuing guidance, patience, kindness, encouragement and understanding are also deeply appreciated. Certainly, without her help this thesis would have become a reality. No word can express my gratitude for the contribution she has made.

I am also deeply thankful to Dr. Chamnan Patarapanich, my co-advisor in his kindness and invaluable advice. For me, without his help this thesis would have never been succeeded completely.

I also wish to express deep appreciation to all members of the thesis committee for suggestion and comment.

Special thanks are extended to grants and facilities from the Graduate School, Department of Pharmacy and the Government Fund through Faculty of Pharmaceutical Sciences, Chulalongkron University. Also, I would like to thank all the faculty members in the department of Pharmacy and all my friends for their assistant and encouragement.

Above all, I would like to express my infinite thanks and deepest gratitude to my family, especially, my parent for giving me the educational opportunity, love, warmly care, help, understanding and great encouragement.

Finally, I would like to express my thanks to all of those whose name have not been mentioned and to those who in one way or another have helped to make this thesis a reality.

CONTENTS

ABSTRACT [THAI]	iv
ABSTRACT [ENGLISH]	v
ACKNOWLEDGEMENTS	vi
CONTENTS	vii
LIST OF TABLES	viii
LIST OF FIGURES	ix
LIST OF ABBREVIATIONS	xi
CHAPTER	
I INTRODUCTION	1
II REVIEW OF LITERATURE	3
Nature of oxidation	3
Mechanisms of oxidation	3
Factors influencing oxidation.....	6
Inhibitions of oxidation	19
III EXPERIMENTAL	34
Materials.....	34
Equipment.....	35
Methods.....	35
IV RESULTS AND DISCUSSION	42
V CONCLUSIONS	80
REFERENCES	82
APPENDICES	89
VITA	197

LIST OF TABLES

TABLE	PAGE
1. Oxygen content in water under air and pure oxygen at atmospheric pressure and various temperatures.....	12
2. Oxygen content in water.....	21
3. Correlation coefficient (r) of regression lines of zero, first and second order plots of ranitidine HCl stored in the presence of oxygen and light.....	44
4. Correlation coefficient (r) of regression lines of zero, first and second order plots of ranitidine HCl stored in the presence of oxygen but the absence of light.....	45
5. Correlation coefficient (r) of regression lines of zero, first and second order plots of ranitidine HCl stored in the presence of light but the absence of oxygen.....	46
6. Correlation coefficient (r) of regression lines of zero, first and second order plots of ranitidine HCl stored in the absence of oxygen and light.....	47
7. Second-order degradation rate constants of ranitidine HCl stored in the four different storage conditions.....	48
8. Additive effect of oxygen and light.....	51
9. Resolution values of ranitidine HCl and procaine HCl peak.....	72
10. Data for calibration curve of ranitidine HCl.....	77
11. Data of within run precision.....	78
12. Data of between run precision.....	78
13. Percentages of analytical recovery of ranitidine HCl.....	79

LIST OF FIGURES

FIGURE	PAGE
1. The ground state of oxygen molecule.....	5
2. Chemical structures of simvastatin and compound L-647,318.....	7
3. Bound moisture of starch granulated material.....	10
4. Spectral energy distribution of global solar radiation.....	17
5. Transmission of light through glass surfaces.....	23
6. Spectral transmittance characteristics of clear and amber glass and the effect of glass thickness.....	25
7. Chemical structure of Butylated hydroxytoluene (BHT).....	27
8. Tocopherol structure of tocopherol.....	27
9. Chemical structures of ascorbic Acid.....	30
10. Chemical structure of EDTA.....	31
11. Chemical structure of citric acid.....	32
12. Bar charts of degradation rate constants of ranitidine HCl in phosphate buffer stored in different storage conditions.....	50
13. Bar charts presenting the effect of 0.5 % w/v Cremophor EL®	53
14. Line graphs presenting the effect of BHT.....	55
15. Bar charts presenting the effect of 0.5 % w/v Tween 20®	56
16. Line graphs presenting the effect of alpha tocopherol.....	58
17. Line graphs presenting the effect of sodium bisulfite.....	60
18. Line graphs presenting the effect of ascorbic acid.....	62
19. Line graphs presenting the effect of EDTA.....	65
20. Line graphs presenting the effect of citric acid.....	67
21. Ultraviolet spectrum of ranitidine HCl in an aqueous solution and in pH 8 phosphate buffer solution.....	68
22. Chromatograms of ranitidine HCl at 229 nm and 315 nm.....	69

23. High pressure liquid chromatograms of standard solution of ranitidine HCl concentrations of 4.00 $\mu\text{g}/\text{ml}$, (a); 8.00 $\mu\text{g}/\text{ml}$, (b); 16.00 $\mu\text{g}/\text{ml}$, (c); 24.00 $\mu\text{g}/\text{ml}$, (d); 32.00 $\mu\text{g}/\text{ml}$, (e); and 40.00 $\mu\text{g}/\text{ml}$, (f). Retention time of ranitidine HCl and procaine HCl are at 5.00-6.00 and 8.00-9.00 min, respectively.....	71
24. High pressure liquid chromatograms of alpha tocopherol, BHT, sodium bisulfite, ascorbic acid, EDTA, citric acid, Tween 20 [®] and Cremophor EL [®]	73
25. High pressures liquid chromatograms of decomposed ranitidine HCl in the presence and absence of additives	74
26. High pressures liquid chromatograms of decomposed alpha tocopherol, BHT, sodium bisulfite, ascorbic acid, EDTA, citric acid, Tween 20 [®] and Cremophor EL [®]	75
27. The calibration curve of ranitidine HCl	77
28. Chemical structure of ranitidine HC l	90
29. Ranitidine HCl and its related compounds	93



 สถาบันวิทยบริการ
 จุฬาลงกรณ์มหาวิทยาลัย

LIST OF ABBREVIATIONS

ANCOVA	=	analysis of covariance
BHT	=	buthylated hydroxytoluene
°C	=	degree Celcius
CMC	=	critical micelle concentration
CV	=	coefficient of variation
EDTA	=	ethylenediamine tetraacetic acid
HPLC	=	high performance liquid chromatography
hr	=	hour
k	=	degradation rate constant
+L	=	presence of light
-L	=	absence of light
M	=	molar
μ	=	micrometre
μg	=	microgram
mg	=	milligram
ml	=	millilitre
N	=	normality
+O	=	presence of oxygen
-O	=	absence of oxygen
PAR	=	peak area ratio
r	=	correlation coefficient
r²	=	coefficient of determination
SD	=	standard deviation
SPSS	=	Statistical Package for the Social Sciences
W	=	watt
w/v	=	weight by volume